



Figure II-9. Photo de l'intermédiaire $[(\text{TPEN})\text{Fe}^{\text{IV}}(\text{O})](\text{PF}_6)_2$ isolé à basse température dans un mélange acétonitrile/éther diéthylique

6. Etude magnétique de $[(\text{TPEN})\text{Fe}^{\text{IV}}(\text{O})](\text{PF}_6)_2$ solide.

Les études magnétiques de $[(\text{TPEN})\text{Fe}^{\text{IV}}(\text{O})](\text{PF}_6)_2$ sous forme de poudre ont été réalisées en collaboration avec le Dr. Eric Rivière au Laboratoire de Chimie Inorganique (ICMMO, Orsay).

La Figure II-10 présente le produit $\chi_{\text{M}}T$ en fonction de la température entre 2 et 300 K avec un champ appliqué de 1000 oe. L'expérience a été réalisée entre 2 et 300 K (Figure II-10) et reproduite entre 2 et 200 K (Figure II-11).

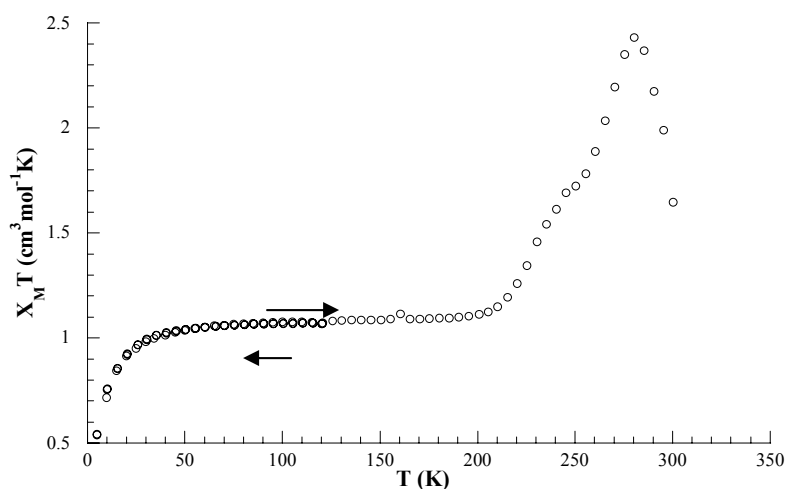


Figure II-10. Evolution du produit $\chi_{\text{M}}T$ en fonction de la température pour le complexe $[(\text{TPEN})\text{Fe}^{\text{IV}}(\text{O})](\text{PF}_6)_2$ sous forme de poudre de 2 à 300 K.